

zvolených farebných zdrojov a experimentálne určené farebné súradnice sa prepočítaly do systému hypotetických farieb, o ktoré sa opierajú Königove a Ivesove výskumy. Pripojené diagramy ukazujú súhlas výsledkov, získaných obidvoma metódami.

## I. kapitola.

JOZEF GARAJ

# ŠTUDIUM INTERFERENČNÝCH FARIEB VZNIKAJÚCICH ROTAČNOU DISPERZIU V KREMENNEJ DOŠTÍCKE MEDZI POLARIZÁTOROM A ANALYZÁTOROM

Obsahom pojednania je štúdium a experimentálne overenie teoretických určených interferenčných farieb, vznikajúcich v kremennej doštícke brusenej kolmo k optickej osi, vloženej medzi skriencé nikoly do rovnobežného svetla. V prvej kapitole sa uvadzajú základné pojmy a zákony trichromatickej teórie farieb<sup>1</sup>. Druhá kapitola je venovaná teoretickému výpočtu spomenutých farieb. Pre optickú aktivitu kremeňa používa sa pri tom *vzorec Lowry-Chode-Adamsovo*, pomocou ktorého sa určujú krivky priestupnosti v 18-tich rôznych polohách analyzátoru v hraniciach od 0° do 180°. Výpočet sa opiera tiež o valenčné krivky slnečného svetla namerané Königom a Dietericim<sup>2</sup>, málo pozmenené H. E. Ivesom<sup>3</sup>, a o vlastné fotometrické výhodnotenie osvetľovacieho zdroja s ohľadom na slnečné svetlo, prevedené spektrálnym *Fotometrom König-Martensovym*. Obsahom tretej kapitoly je konečne experimentálne overenie teoretických výsledkov. K tomu použitá aparátura pozostávala z troch farebných svetelných zdrojov, získaných filtermi a žiarovkami, určenými v predchádzajúcej kapitole. Intenzita svetelných zdrojov bola kontrolovaná pomocou šedých kinov. Farby pozorované v poli analyzátoru boli reproducované pomocou

Základné poznatky, na ktorých je vybudovaná trichromatická teória farieb, boli známe už Helmholtzovi a Maxwellovi v minulom storočí. Helmholtz zaoberejúce sa miešaním farebných svetiel a Maxwell miešaním farebných pigmentov pomocou rotujúceho sektora zistili, že možno nájsť také tri farby, ktorých miešaním vo všetkých možných pomeroch možno vytvoriť všetky farebné tóny. Tieto tzv. základné farby sú viazané jedinou podmienkou, že smiešaním ktorýchkoľvek dvoch z nich nie je možno vytvoriť zbývajúcu. Hovoríme, že sú na sebe nezávislé. Obidvom bádateľom bola tiež známa skutočnosť, že farby možno geometricky znázorňovať pomocou vektorov. Vývin teórie farieb zaznamenal významný pokrok priekopníckymi prácami Königa a Dietericu na prechode do dráciatého storočia. V nich sa spojili výsledky fyziológického výskumu farbosleposti s fyzikálnymi výskumami Helmholtza, čím vznikol hlbší počítač na podstavu farebného videnia. Meranie Königa a Dietericu bolo viackrát preskúmané. V práci sa opierame o posledné údaje Ivesove.

Zasadanie *Commission Internationale de l'Éclairage* v Paríži r. 1931 ustanilo pre meranie farieb sice určité zásady, tie sú však ráz technického. Prijala sa tu definícia bieleho svetla, v ktorom žiarivá energia je rovnomerne rozložená po vlnových dĺžkach, zaviedlo sa meranie farieb v trichromatických jednotkách a upustilo sa od nariazania na výsledky o farbosleposti. Pre nesladkú realizáciu výsline definovaného bieleho svetla pridzíme sa Königovej definícii bieleho svetla ako svetla slnečného a tiež jeho rešpektovania predstav o farbosleposti. Táto volba ovplyvňuje, ako sa neskôr presvedčíme, iba čiselné vyjadrenie farby, avšak pre zásadné riešenie otázky, ktorou sa budeme zaoberať, je nepodstatná.

## Základy trichromatickej teórie farieb.

<sup>1</sup> Müller-Pouillet, *Lehrbuch der Physik*, II/1, str. 390—560, II/2, 1. str. 1104—1320 (11. vydanie). — Schrödinger, *Grundriss einer Theorie zur Farbenmetrik*, Annalen der Physik 63, 397, 1920. — Handbuch der Experimentalphysik, Band 20, Physiologische Optik, 1929. — Wright, *The Measurement of Colour*, London, A. Hilger, 1946. — Wentzel, *Die Veränderung der Interferenzfarben...*, Centralblatt für Min., Geol., 1919.

<sup>2</sup> König und Dietrichi, *Die Grundversuchungen...*, Zeitschr. f. Psychol. und Physiologie des Sinnesorgane, 1892, Bd. 4, S. 241—347.

<sup>3</sup> Ives E. H. Journ. Franklin Inst., 180, 673, 1915; 195, 23, 1923.

a) Množstvo svetelnej energie  $dE$ , prípadajúcej na vlnový obor  $d\lambda$ , pri vlnovej dĺžke  $\lambda$  a prechádzajúcej ploškou  $d\sigma$  do priestorového uhlíku  $d\omega$ , za čas  $dt$  je:

$$dE = f(\lambda) \cdot d\lambda \cdot d\sigma \cdot d\omega \cdot dt.$$

Ked táto energia vníká do ľudského oka, spôsobuje v ňom vnem. Vnem je preto závislý na funkcií  $f(\lambda)$ .

b) Svetlú vyznačujúce sa rôznymi funkciami  $f(\lambda)$  môžu sa oku javiť ako rovnaké. Rozmanitosť vnenov svetiel teda nie je taká veľká ako rozmanitosť funkcií  $f(\lambda)$ , je menšia.

c) Množinu tých svetiel, ktoré bez ohľadu na priebeh funkcie  $f(\lambda)$  sa javia oku rovnakými, nazývame ex definitione farbou. Podľa predchádzajúceho tvrdenia je teda rozmanitosť farieb menšia ako je rozmanitosť funkcií  $f(\lambda)$ .

d) Fyziologický svetelný tok  $\Phi$  je definovaný vzäťom

$$\Phi = \int \eta N d\lambda$$

kde  $N$  je na jednotku času prípadajúca svetelná energia pri určitej vlnovej dĺžke  $\lambda$  a  $\eta$  je funkciou  $\lambda$ . Priebeh funkcie  $\eta(\lambda)$  vyjadruje citivosť oka na farby. Svetelný tok prenikajúci jednotkovou ploškou kolmou na smer papierkopov definuje jasnosť svetla.

e) Náhrada funkcie  $f(\lambda)$  funkciou  $k \cdot f(\lambda)$  má za následok  $k$ -násobné zväčšenie jasnosti svetla.

f) Ktorúkoľvek farbu možno vyjadriť v tvare algebraického súčtu troch farieb, ktorých volba je obmedzená jedine tým, že smiešaním ktorýchkoľvek dvoch z nich nemožno získať tretiu. Odtiaľ pochádza tiež názov „trichromatická teória farieb“.

g) Hovoríme, že dve svetlá majú rovnaký farebný ton, ak jedno z nich možno získať z druhého, pridaním primeraného množstva bieleho svetla.

h) To z obidvoch svetiel, ktoré obsahujie pomerne viac bieleho svetla, sa nazýva menej sýtym.

Všetky monochromatické svetlá a svetlá, ktoré vzniknú smiešaním monochromatických svetiel s najkratšou a najdlhšou viditeľnou vlnovou dĺžkou vo všetkých možných pomeroch považujú sa za svetlá 100% sýte, všetky ostatné svetlá sú menej sýte.

i) Nakolko celú rozmanitosť farieb možno vytvoriť z troch základných farieb, predpokladá Young-Helmholtzova teória videnia existenciu troch receptorov v ľudskom oku, ktorých podráždenie v rôznych pomerach určuje rôzne farebné vremeny.

Treba poznamenať, že toto je iba vhodná pracovná hypotéza a trichromatická teória nijak netrpí prípadným útokom na ňu.

Základy trichromatickej metriky.

Smešaním dvoch nekoherenčných svetiel vyznačujúcich sa funkciami  $f(\lambda)$ ,  $g(\lambda)$ , dostaneme svetlo s funkciou  $\psi(\lambda) = f(\lambda) + g(\lambda)$ . Pretože

medzi farbou svetla a funkciou  $\psi(\lambda)$ , ktorou je definované, nie je jednoznačne priradenie, vzniká otázka, či smiešaním svetiel ktorýchkoľvek funkcií  $f_i(\lambda)$  a  $g_j(\lambda)$  z množín urchujúcich uvažované farby, dostaneme svetlú funkciu  $\psi_k(\lambda)$  z množiny svetiel definujúcich tú istú farbu. Riešenie tejto otázky dáva 3. Grassmannov zákon o smiešaní farieb, podľa ktorého smiešaním svetiel s fyzikálnym složením príslušným množinám určitých farieb, dosťavame svetla množiny tejž farby. Preto pri úvahach o farbách možno niekedy odlišiť od presného složenia svetla, ktoré tiež farby tvorí, a dívať sa na farby ako na samostatné skutočnosti.

Nech  $A$ ,  $B$  sú dané farby. Ich sčítanie zapisujeme rovnicou

$$L = A + B.$$

Rozdiel týchto farieb označíme podobne  $A - B$ , čo fyzikálne znamená farbu  $X$ , ktorú ked sčítame s farbou  $B$ , dostaneme farbu  $A$ . Kým sčítanie dvoch farieb možno vždy previesť, nemôžeme v úplnej obenosti hovoriť o existencii rozdielu dvoch farieb. Obecne nieexistuje rozdiel monochromatických spektrálnych farieb. Keď totiž smiešame druhú monochromatickú farbu s inou, prípadne i nie monochromatickou, dostaneme nanajvýs ten istý farebný ton, ako má prvá-monochromatická farba z hľadaného rozdielu, avšak obecne nikdy nedosiahneme tú istú sýtosť.

Opakováním sčítania dochádzame ku definícii násobenia farby konštantou. Definujeme: Ak je

$$A_1 = A_2 = A_3 = \dots = A_n = A,$$

$$\sum_{i=1}^n A_i = n A,$$

kde  $n$  je cele, kladné číslo. Ihneď vidieť, že možno tiež hovoriť o násobení farby lubovoľným racionalným, resp. iracionálnym číslom.

Analytické výjadrenie experimentálnej skutočnosti citovanej v bode  $f$ , predchádzajúceho odseku znie:

$$F = \alpha A' + \beta B' + \gamma C',$$

pričom farby  $A'$ ,  $B'$ ,  $C'$  splňujú rovnice

$$\alpha' A' + \beta' B' + \gamma' C' = 0$$

jedine v prípade, že  $\alpha' = \beta' = \gamma' = 0$ . Hovoríme preto tiež o lineárnej nezávislosti farieb základných.

Ak jedno, prípadne i dve z čísel  $\alpha$ ,  $\beta$ ,  $\gamma$  v rovnici pre  $F$  sú záporné, potom fyzikálne nutno rovnici chápať v tvare, v ktorom na ľavú stranu rovnice s farbou  $F$  sú prenesené záporné členy so zmenenými znamienkami. Všetky čísla  $\alpha$ ,  $\beta$ ,  $\gamma$  nemôžu byť záporné.

Pretože, ako vieme, zákony miestania farieb sa shodujú s axiomami vektorovej algebry, možno každej farbe priradiť istý vektor, t. j. farby možeme vektorove zobrazit. Toto zobrazenie určíme, ak tróm lineárne nezávislým farbám priradíme tri nekomplánarne vektory. Každa iná farba je potom už jednoznačne určená vektorom na základe rovnice  $F = \alpha A' + \beta B' + \gamma C'$ . Čísla  $\alpha, \beta, \gamma$ , ktorými je farba  $F$  jednoznačne určená vzhľadom na farby  $A', B', C'$ , menujú sa preto súradnicami danej farby vzhladom k tróm zvoleným základným farbám.

Nech vektory základných farieb sú  $A', B', C'$ . Vektor  $A' + B' + C' = J$  predstavuje určitú farbu a prieseečník tohto vektora s rovinou preloženou koncovými bodmi základných vektorov určuje ľazisko jednotkových hmotných množieb, myšlených v koncoch základných vektorov. Lubovoľnému vektoru  $F = \alpha A' + \beta B' + \gamma C'$  je v tejto rovine priradený jeho prieseečník s ňou, ktorý súčasne predstavuje ľazisko hmotných množieb  $\alpha, \beta, \gamma$  v koncoch základných vektorov. Body, ktoré týmto spôsobom priradujeme farbám v rovine, vystínajú jedine kvalitu farieb, pretože počela ľaziska je určená jednoznačne už pomerom hmot. Je teda možné aj grafické znázornenie farieb v rovine, a to s obmedzením, že jasnosť farieb ostáva neurčená. Ako možeme priamo nahľadnúť, najdeme tón a súčet súčtu násobkov farieb prevedením ľaziskovej konštrukcie.

Ak je potrebné prejsť od istých základných farieb ku iným, použijeme priamo transformačných vzťahov pre vektory. Za základné farby je však výhodné voliť vždy také tri farby, aby ich súčet dával predpisanú farbu, napr. bielu určitej jasnosti. Dve takéto trojice farieb  $A', B', C'$  a  $R, G, B$  splňujú potom rovnicu:

$$A' + B' + C' = R + G + B.$$

Ak sú však farby druhej trojice dané len ich kvalitou, poznáme len pomery ich súradnic vzhľadom na starý systém :

$$r_1 : r_2 : r_3, \quad g_1 : g_2 : g_3, \quad b_1 : b_2 : b_3,$$

tu treba určiť príslušné násobky  $\lambda, \mu, \nu$  súradnic  $r_1, g_1, b_1$ , aby sme splnili predpísanú podmienku transformácie. Z výjadrenia vektora

$$R = \lambda r_1 A' + \lambda r_2 B' + \lambda r_3 C'$$

a podobného pre  $G, B$ , dostávame podmienky pre koeficienty

$$\begin{aligned} \lambda r_1 + \mu g_1 + \nu b_1 &= 1, \\ \lambda r_2 + \mu g_2 + \nu b_2 &= 1, \\ \lambda r_3 + \mu g_3 + \nu b_3 &= 1. \end{aligned}$$

Podmienkou možnosti transformácie je

$$\begin{vmatrix} r_1 & g_1 & b_1 \\ r_2 & g_2 & b_2 \\ r_3 & g_3 & b_3 \end{vmatrix} \neq 0,$$

t. j. aby vektory  $R, G, B$  boli nekomplánarne.

Volba základných farieb a krivky Königo ve.

Je zrejme, že možno voliť dokonca veľmi mnoho trojic základných farieb. Aby sa dosiahlo jednoty a tým jednoduchšieho srovávania výsledkov, je ďelne štandardizovať základné farby určitým spôsobom. König a iní naviazali na výskum farbosleposti. V bode  $i$  druhého odseku tejto kapitoly bola už naznačená hlavná myšlienka. Farboslepcomi sa nazývajú obecne taki ľudia, u ktorých sú jeden alebo dokonca  $i$  dva vnenové receptory zakrpatelé. Podľa toho sú dichromati tí, ktorí chybaju jeden receptor, monochromati (tiež totálni farboslepcí) tí, ktorí chybajú dva receptory. Normálny pozorovateľ sa nazýva potom trichromat.

Ked dichromat nerozlišuje dve pre trichromata rôzne farby  $M, N$ , platí dichromatická rovnia

$$M \xrightarrow{d} N$$

( $d$  nad rovnicou značí, že rovnica platí jedine pre dichromata). Ak  $S$  je lubovoľná, pre trichromata aj dichromata iná farba, potom platí zrejme dichromatická rovnia

$$S + \lambda M \xrightarrow{d} S + \lambda N$$

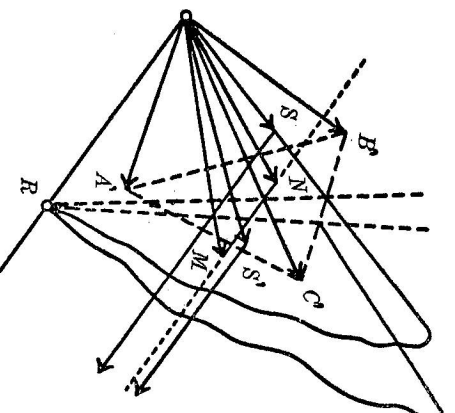
alebo inakšie

$$S + \lambda(M - N) \xrightarrow{d} S$$

pre lubovoľné  $\lambda$ .

Ak teda podľa poslednej rovnice postupujeme v trichromatickom vektorovom farebnom priestore od koncového bodu vektora farby  $S$  ku iným farbám v smere vektora  $M - N$ , nerozlišuje dichromat tiehto farby všobec (t. j. ani čo do kvality ani čo do jasnosti). Ak namesto farby  $S$  použijeme farbu tej istej kvality, ale inej jasnosti a od koncového bodu jej vektora postupujeme v smere hore definovanom, prechádzame farbami, ktoré tenže dichromat zase nerozlišuje, avšak majú pre neho inú jasnosť. Z toho vyplýva, že v bodoch priamky, ktorú dostaneme pretnutím roviny preloženej vektorom  $M - N$ ,  $S$  s rovinou preloženou koncovými bodmi vektorov základných farieb  $A', B', C'$ , ležia konce vektorov farieb, ktoré dichromat rozlišuje len čo do jasnosti (porov. obr. 1). Ak s tým istým dichromatom prevedieme tu istú skúšku, ale namisto farby  $S$  zvolíme farbu  $S'$ , ktorú od prej aj kvalitatívne rozlišuje, dostaneme v rovine trojuholníka základných farieb novú priamku, ktorá sa s priamkou prv

určenou prečína v bode ležacom na priamke vedenej z počiatku v smere vektora  $\mathbf{M} - \mathbf{N}$ . Je zrejmé, že tento bod určuje farbu, ktorú dichromat nevidí. Stačí teda v rovine trojuholníka základných farieb nájsť dve priamky, z ktorých jedna prechádza bodmi určujúcimi farby pre dichromata



Obr. 1.

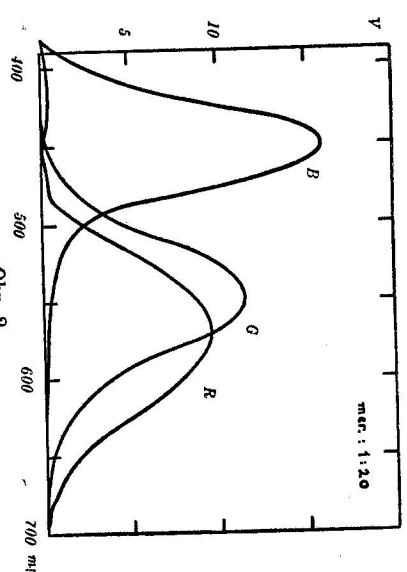
kvalitativne totožné s farbou  $S$  a druhá farba o kvalite farby  $S''$ . Ich priesecník určuje v rovine trojuholníka bod, ktorého pomer súradnic udáva smer vektora  $\mathbf{M} - \mathbf{N}$ . Pretože máme tri druhy dichromatov, dostávame podľa práve popísaného spôsobu tri body v rovine trojuholníka základných farieb, určujúce také farby, ktoré — keby existovaly — učinkovaly by vzäy len na jeden receptor ľudského oka. Je zvykom z početných dôvodov tieto tri farby voliť pri klasifikácii farieb za základné farby, aj keď každé praktické meranie sa musí opierať o farby reálne. Označujú sa všeobecne znakmi  $R$ ,  $G$ ,  $B$ . Ich jasnosť určíme z podmienky:

$$A' + B' + C' = R + G + B.$$

Význam súradnic  $r$ ,  $g$ ,  $b$  farby vzhľadom na základné farby tohto systému je ten, že určujú veľkosť podráždenia základných vnemových receptorov v oku pri vnímaní dotyčnej farby.

König a Diererici previedli trichromatickú klasifikáciu farieb mriežkového slnečného spektra tak, že postupovali úzkym vlnovým intervalom po celej jeho dĺžke a určili trichromatické súradnice jednotlivých mono-

chromatických složiek slnečného spektra. Transformáciou svojich výsledkov do systému farieb  $R$ ,  $G$ ,  $B$  získali výsledky uvedené v tab. I. (Až na opravy učinene Ivesom, o čom už bola zmienka.) Ich grafické znázornenie predstavuje obr. 2.



Obr. 2.

#### Trichromaticke meranie jasnosti a sýtosti farieb.

Uvedli sme už, že znázornenie farieb možno prevádzkať v rovine v t. zv. trojuholníkovom diagrame, avšak musíme zvlášť uviesť ich jasnosť, napokolko bod v rovine nám vystihuje len kvalitu farby. Z výskumov G. Exnera, Kohlrauscha, Schaefera-Gibsona a i.<sup>1</sup> vyplýva, že jasnosť svetla má aditívny charakter, odkiaľ potom bezprostredne vyplýva, že ju možno vyjadriť ako lineárnu kombináciu súradnic farby v tvare

$$h = \alpha r + \beta g + \gamma b,$$

kde  $\alpha$ ,  $\beta$ ,  $\gamma$  sú konštanti, ktoré možno experimentálne určiť. Prví dva menovaní autori uvádzajú pre ne hodnoty  $\alpha = 1$ ,  $\beta = 0,618$ ,  $\gamma = 0,047$ . V tomto prípade je jednotkou jasnosti na určenie jasnosti všetkých farieb vôbec jasnosť základnej farby  $R$ . Protože biele svetlo, vytvorené z troch základných svetiel, má podľa definície jednotkové súradnice, je jeho jasnosť uданá číslom

$$h_b = \alpha + \beta + \gamma.$$

<sup>1</sup> Exner F., *Sitzungsberichte d. Wien. Akad. d. Wiss.* (2a) 127, 1829, 1918; 129, 27, 1920. — Kohlrausch K. W. F., *Phys. Zeitschr.* 21, 396, 423, 473, 1920. — Schaefer Cl., *Phys. Zeitschr.* 26, 58, 1925.

T. a. I. Königove hodnoty základných vnemov.

Relativnú jasnosť iných farebných svetiel, vzhľadom na práve uvedenú jasnosť bieleho svetla, určuje výraz

$$H_r = \frac{h}{h_b} = \frac{\alpha r + \beta g + \gamma b}{\alpha + \beta + \gamma}$$

Tento výsledok má veľký význam pre heterochrómu fotometriu, pretože umožňuje srovnávanie jasnosti zdrojov rôznych farieb.

Dôležitá je aj otázka definície sýtosti farebných svetiel. Pravý smysel definície, ktorú uvedieme, dosťaneme, ak si uvedomíme najprv nasledovné skutočnosti.

#### Trichromatická klasifikácia

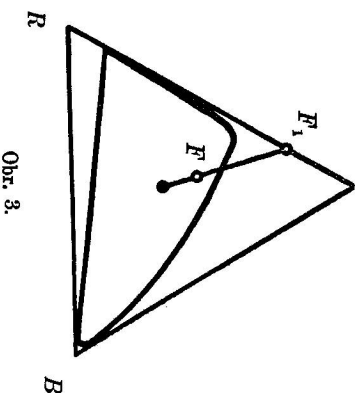
farieb slnečného spektra jednoznačne určuje ich polohy v trojuholníkovom diagrame, vo vrcholoch ktorého sú „farby“ určené výskumom farbosleposti. Krivka naznačená na obr. 3 znázorňuje tiež farby a nazýva sa niekedy tiež Newtonovou krivku. Farby  $R$ ,  $G$ ,  $B$  sú zrejme hypotetické, pretože ležia mimo oboru reálnych farieb. (Von z Newtonovej krivky) Spojnice  $RG$ ,  $RB$ ,  $GB$  nám predstavujú najstaješie hypotetické farby. Vzhľadom na ne sa definuje sýtosť každej reálnej farby.

Predstavujeme si, že istá farba  $F$  (porov. obr. 3.) o súradniach  $r$ ,  $g$ ,  $b$  vznikla z hypotetickej farby  $F_1$ , ktorá má ten istý farebný tón, pridaním určitého množstva bielej farby, ktoré sa riadi veľkosťou jej najmenšej súradnice. Podľa obr. 3 je v našom prípade najmenšia súradnica  $b$ , preto možno písat

(g - b) F\_1 + (r - b) R + b R + b G + b B = r R + g G + b B.

Mieru sýtosti definujeme potom pomerom celkového podráždenia oká hypotetickou farbou — keby existovala — ku podráždeniu pochádzajúcemu od skutočnej farby. Je teda v našom prípade sýtosť farby  $F$

$$S = \frac{(g - b) + (r - b)}{r + g + b}.$$



Obr. 3.

$v \mu$	V i n o v á d i ž k a		
	$r$	$g$	$b$
0,38	—	—	—
0,39	0,0029	—	0,0485
0,40	0,0073	—	0,1270
0,41	0,0118	—	0,2800
0,42	0,0144	—	0,3550
0,43	0,0177	—	0,3880
0,44	0,0065	0,0039	0,7630
0,45	—	0,0147	0,8030
0,46	0,0009	0,0319	0,7560
0,47	0,0090	0,0598	0,6300
0,48	0,0203	0,1000	0,4210
0,49	0,0575	0,1540	0,2170
0,50	0,1170	0,2310	0,1170
0,51	0,1920	0,3340	0,0778
0,52	0,2480	0,4420	0,0521
0,53	0,3350	0,5180	0,0361
0,54	0,3960	0,5640	0,0282
0,55	0,4400	0,5760	0,0216
0,56	0,4660	0,5550	0,0168
0,57	0,4720	0,4960	0,1138
0,58	0,4440	0,3960	0,0105
0,59	0,4400	0,2880	0,0051
0,60	0,3950	0,1990	0,0024
0,61	0,3490	0,1330	0,0009
0,62	0,2880	0,0921	0,0005
0,63	0,2120	0,0551	0,0002
0,64	0,1500	0,0334	—
0,65	0,0934	0,0180	—
0,66	0,0561	0,0097	—
0,67	0,0380	0,0052	—
0,68	0,0140	0,0022	—
0,69	0,0090	0,0013	—
0,70	0,0048	0,0007	—

<sup>1</sup> O definícii sýtosti pozri Schaefer Cl., Phys. ZS. 31, 720, 1930.

## II. kapitola.

Počis zjavu.

Lineárne polarizované biele svetlo, prechádzajúce kremennou dosťkou, javí rotačnú disperziu, ktorú dobre vystihuje vzorec *Lowry-Gooden-Adams*

$$\alpha_1 = \frac{A}{\lambda - \lambda_0^2} + \frac{B}{\lambda - \lambda_0^2} + C. \quad (1)$$

V tomto je  $\alpha_1$  špecifická otáčavosť v stupňoch na mm pri vlnovej dĺžke  $\lambda$ , meranej v  $\mu$ ,  $A = 9,5639$ ,  $B = -2,3113$ ,  $C = -0,1905$ ,  $\lambda_0^2 = 0,0127493$ ,  $\lambda_0^3 = 0,00974$ .

Ak svetlo vlnovej dĺžky  $\lambda$  vychádza z polarizačného necháme po prechode kremennou dosťkou prechádzať analyzátorom, ktorého polarizačná rovina je odchýlená od polarizačnej roviny polarizačného uhol  $w$  (skriženie nikolov  $w$ ), potom uhol, ktorý rovina polarizovaného svetla sviera s rovinou analyzátora, je

$$u = w \mp \alpha_1 d.$$

Znamienko  $\mp$  platí pre pravo- alebo ľavootáčavý kremenn. Na obr. 4. je  $w = 90^\circ$ .

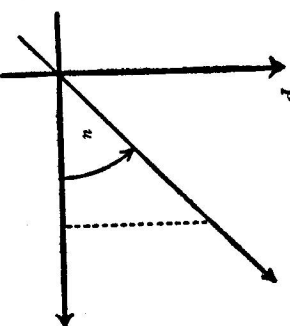
Oznáme amplitúdu svetelného vektora v polarizačnom bode  $(D_\lambda)_p$ . Po prechode analyzátorom bude jeho amplitúda pri tejže vlnovej dĺžke

$$(D_\lambda)_a = (D_\lambda)_p \cdot \cos(u \mp \alpha_1 d).$$

Pretože intenzita svetla je úmerná štvorcu amplitúdy svetelného vektora, platí pre pomer intenzít svetla určitej vlnovej dĺžky v analyzátori a polarizačnom bode

$$\frac{(J_\lambda)_a}{(J_\lambda)_p} = \cos^2(u \mp \alpha_1 d).$$

$\alpha_1$  je funkciou  $\lambda$ , a preto pomer uvažovaných intenzít svetla je závislý na vlnovej dĺžke, čo znamená, že pole analyzátoru sa musí javiť obecne v inej farbe než je farba svetla v polarizačnom. Pretože však uvedený pomer je tiež funkciou skriženia nikolov  $w$ , vyplýva z toho, že



Obr. 4.

Závislosť  $\alpha_1 d$  na vlnovej dĺžke,  $u$  použitej kremennej dosťkou ( $d = 3,39$  mm), potrebnú pre výpočet kriviek priepustnosti a vypočítanú pomocou vzorca *Lowry-Gooden-Adams*, udáva tabuľka č. II. Krivky priepustnosti boli potom určené pre skriženia nikolov  $w = 0^\circ, 10^\circ, \dots, 170^\circ$ . Výsledky udáva tab. č. III a ich grafické znázornenie predstavuje obr. 5. V tabuľke ako aj v diagrame sú uvedené jedine krivky pre  $w = 0^\circ$  až  $90^\circ$  (označené ako I-X), pretože pre  $w > 90^\circ$  platí:  $\cos(R + \alpha) = -\sin \alpha$ , takže krivky priepustnosti sú súmerné podľa osi  $0,5$  (porov. obr. 5).

Hodnoty integrálov  $(a)$ , vzhľadujúcich sa na obor viditeľného svetla boli najdené z diagramov kriviek planimetrovaním. Tako získané súradnice interferenčných farieb sú uvedené v tab. č. IV. Grafické vyniesenie farieb do trojuholníkového farebného diagramu na základe tiažiskovej metódy možno previesť napr. tak, že vypočítame ich súradnice v ortogonálnom systéme  $x, y$  s počiatkom v bode  $R$ , ktorého osa  $x$  splýva so spojnicou  $RB$  a osa  $y$  je kolmá na  $x$  a orientovaná na stranu bodu  $G$ . Nech je dĺžka strany trojuholníka rovná  $I$ , potom platia zrejme vzťahy

$$x = \frac{\frac{b}{2} + g}{r + g + b}, \quad y = \frac{\frac{\sqrt{3}}{2}g}{r + g + b}.$$

Súradnice interferenčných farieb sú zahrnuté v tab. č. IV a ich grafické znázornenie je uvedené na obr. 6.

Z diagramu sa môžeme ihneď presvedčiť o doplnkovosti interferenčných farieb pri rozdielne otvorenia nikolov o  $90^\circ$ . (Na spojnicu dopln-

pole analyzátoru musí javiť tiež zmeny farby pri jeho otáčaní. Budeme v ďalšom teoreticky sledovať závislosť farby na otáčanie nikola.

### Výpočet interferenčných farieb.

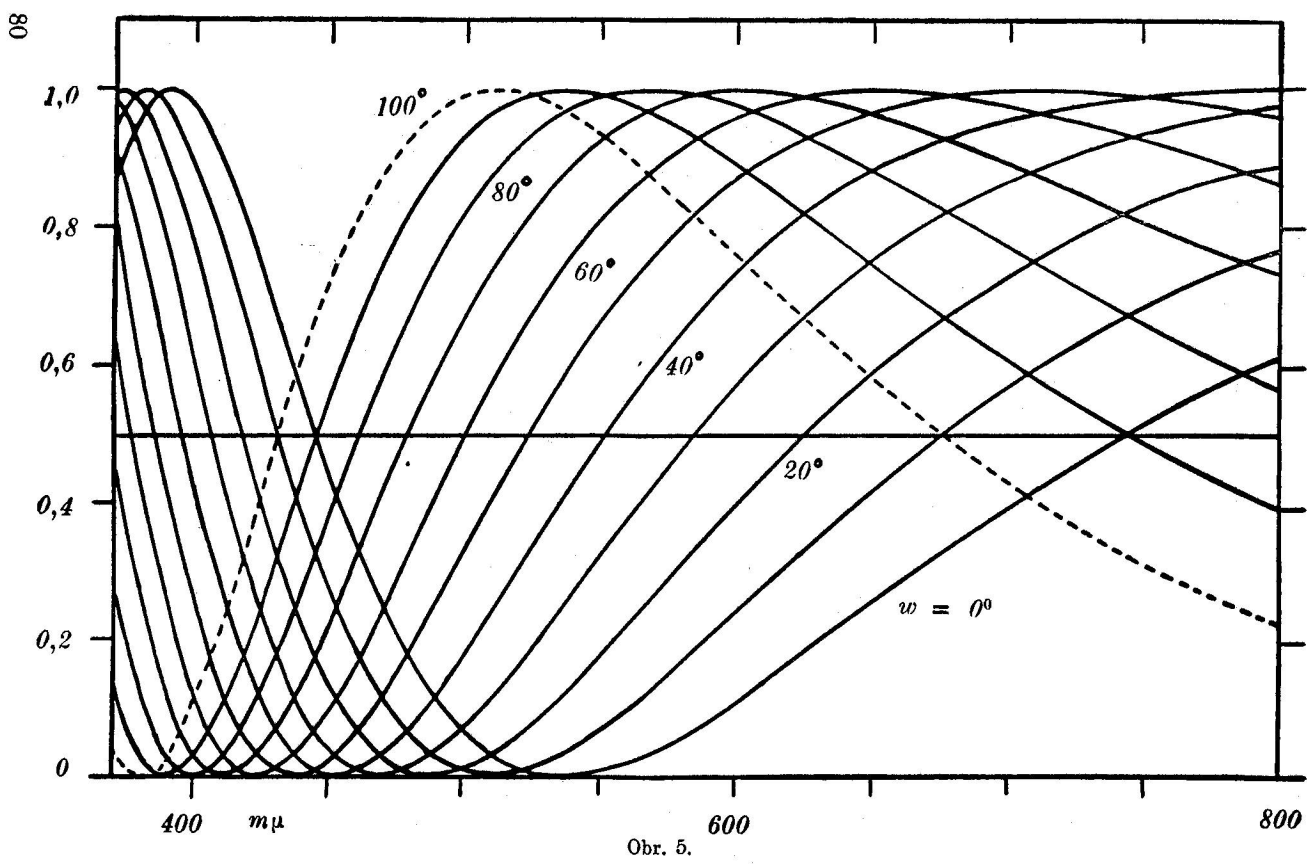
Pomer  $\frac{(J_\lambda)_a}{(J_\lambda)_p}$ , pri určení skriženia nikolov  $w$ , v závislosti na  $\lambda$  určuje krivku priepustnosti svetla analyzátorom. Označme ju  $a(\lambda)$ .

Súradnice farby, ktorou je sfarbené pole analyzátoru, dostaneme potom použitím *Königových kriviek*  $R(\lambda)$ ,  $G(\lambda)$ ,  $B(\lambda)$  (obr. 2) podľa vzorca

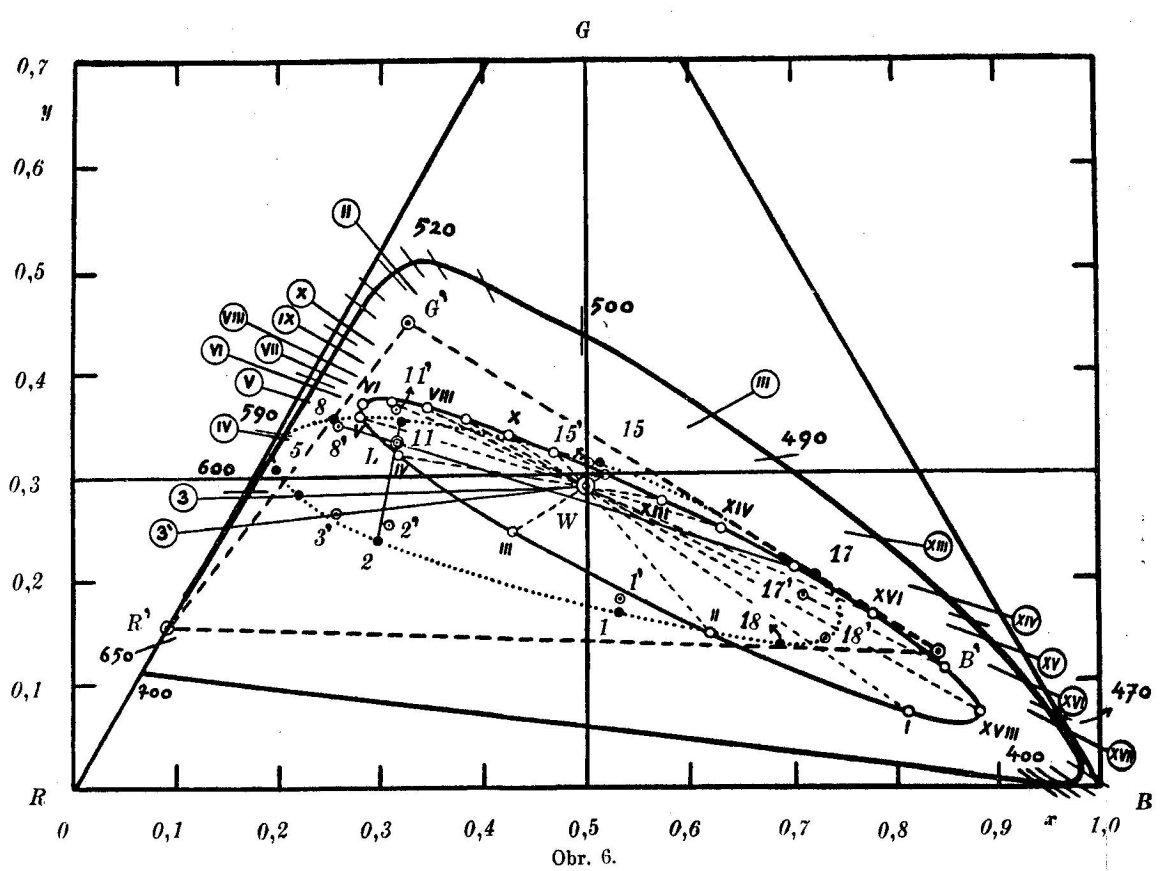
$$r = \int a(\lambda) R(\lambda) d(\lambda), \quad g = \int a(\lambda) G(\lambda) d(\lambda), \quad (a)$$

$$b = \int a(\lambda) B(\lambda) d(\lambda).$$

<sup>1</sup> Lowry Th. M. a Coode W. R. C. Adams, Phil. Trans. Bd. 266, 391, 1927.



Obr. 5.



Obr. 6.

kových farieb leží v diagrame biela farba, pretože tieto farby sa dopĺňajú na bielu farbu.) Táto skutočnosť konečne ihned vypĺýva i z teoretickej úvahy.

Pri určením skriženého  $w$  je totiž celková intenzita svetla vychádzajúceho z analyzátora

$$J_1 = \Sigma (D_{\lambda})_p^2 \cdot \cos^2 (w \mp \alpha_k d),$$

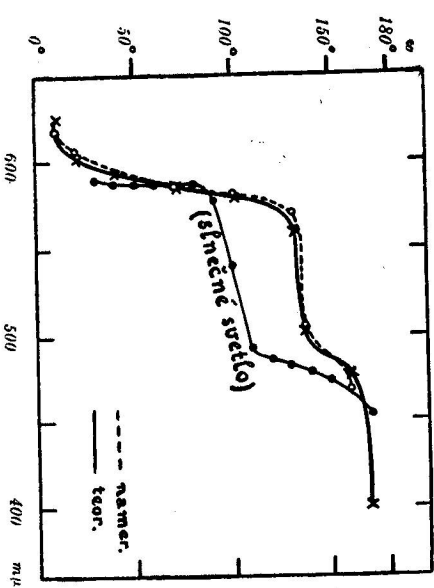
po otočení  $w + R$  je však

$$J_2 = \Sigma (D_{\lambda})_p^2 \cdot \sin^2 (w \mp \alpha_k d).$$

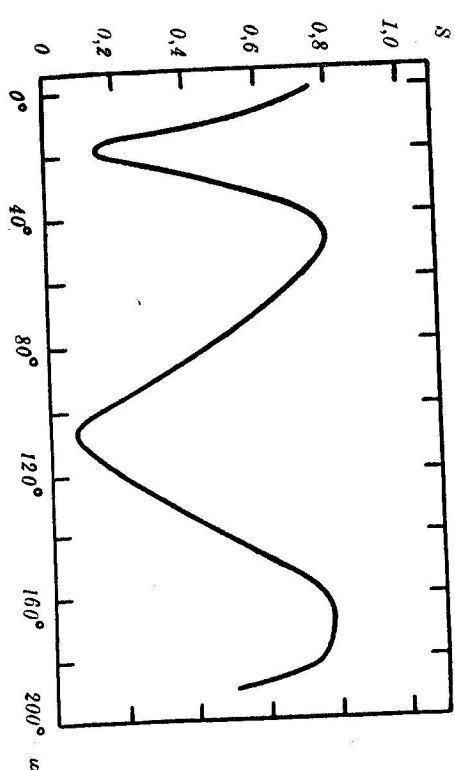
Skutočne vychádza  $J_1 + J_2 = \Sigma (D_{\lambda})^2$ , t. j. že súčet uvažovaných svetiel dáva pôvodné svetlo. Nezáleží tu zrejme na tom, či pôvodné svetlo bolo biele. Doplnkovosť interferenčných farieb je teda trochu obecnnejšieho rázu. Tieto farby doplňujú sa totiž na svetlo, z ktorého vznikly. Z diagramu je zrejme toto vidieť pre interferenčné farby, ktoré boli spočítané pre svetlo žiarovky.

Vlnovú dĺžku dotyčnej farby (t. zv. dominantnú vlnovú dĺžku farby) určíme z diagramu a to z priesečníku spojnice bielej farby a farby skumanej s Newtonovou krvíkou. Konečne sýtosť a jasnosť určíme z uvedených definícií v I. kapitole.

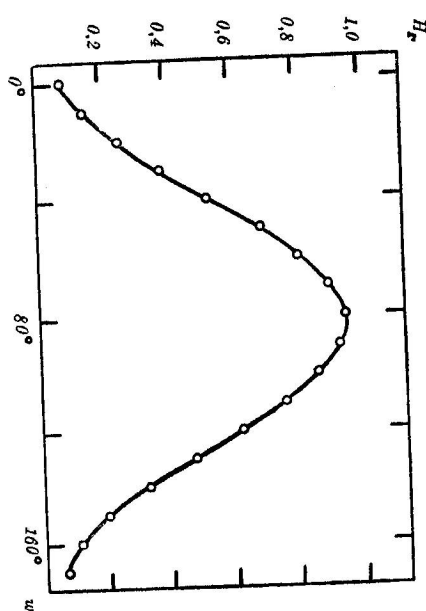
Výsledky podávajú tabuľky V, VI, VII, a ich grafické znázornenie je podané na obr. 7, 8, 9.



Obr. 7.



Obr. 8.



Obr. 9.

Tab. V. základu až farbou IV; predchádzajúce farby zdanillo chybujú. Záležitosť sa stane jasnor pri jednom pohľade na obr. 6. Interferenčné farby I, II, III sú totiž nachádzajú v oblasti purpurových farieb a ich vlnové dĺžky môžu byť udané jedine doplnkovými vlnovými dĺžkami. Pretože však interferenčné farby otočenia  $R + w$  sú doplnkovými ku farbám otočenia  $\pi$ , príslušné doplnkové vlnové dĺžky k zbyvajúcim farbám sú tabelárne hodnoty farieb X, XI, XII.

### III. kapitola.

#### Experimentálne skúmanie.

##### Postup.

V smysle trichromatickej teórie zvolíme si tri lineárne nezávislé farebné zdroje, ktorých svetlá budeme aditívne miestat na bielom tienidle zo súčtu barnatého. Takoto volbou sa rozhodujeme pre istý pracovný farebný systém, preto za účelom srovnávania experimentálnych výsledkov s teoretickými, pre získanie ktorých boli zvolené za základné farby farby hypotetické, je potrebné tieto výsledky transformovať do ich systému. Podľa I. kap. sú takéto transformácie transformáciami vektorov. Označme farby pracovného systému  $R'$ ,  $G'$ ,  $B'$  a ich súradnice v systéme farieb  $R$ ,  $G$ ,  $B$  nech sú postupne:  $u_1$ ,  $u_2$ ,  $u_3$ ;  $v_1$ ,  $v_2$ ,  $v_3$ ;  $w_1$ ,  $w_2$ ,  $w_3$ , potom farba, ktorá má v pracovnom systéme súradnice  $r'$ ,  $g'$ ,  $b'$ , má v systéme  $R$ ,  $G$ ,  $B$  súradnice:

$$\begin{aligned} r &= r' u_1 + g' v_1 + b' w_1, \\ g &= r' u_2 + g' v_2 + b' w_2, \\ b &= r' u_3 + g' v_3 + b' w_3. \end{aligned}$$

Je treba postupne

1. určiť súradnice  $u_1$ ,  $u_2$ , ...,  $u_3$ ,
2. určiť súradnice interferenčných farieb v pracovnom systéme, t. j. určiť hodnoty  $r$ ,  $g$ ,  $b$  pre každú farbu,
3. transformovať vlastné výsledky a určiť dominantnú vlnovú dĺžku, súčasne súradnice  $r'$ ,  $g'$ ,  $b'$ .

*Poznámka.* Za účelom presnejšieho a pohodlniejsieho merania je vhodnejšie použiť ako osvetľovacieho zdroja žiarovku namiesto slnka, pretože stabilita svetelného zdroja vyžadovaná počas celého merania sa dá u pozemského zdroja snadnejšie dosiahnuť než u slnka (poveternostné vplyvy a pod.). Zásadne ponížime 8 W žiarovku s kovovým vlnkonom. Z tohto dôvodu však potrebujeme poznáť svetlo žiarovky, aby sme mohli vypočítať interferenčné farby v jej svetle. To vyzaduje:

4. určenie pomeru energetického rozloženia svetla žiarovky a slnečného svetla. Poznanie tohto bodu musíme postaviť na prvé miesto.

*Určenie relativného pomeru intenzity svetla žiarovky a slnka v závislosti od vlnovej dĺžky.*

Pomer intenzít monochromatických složiek svetla žiarovky a slnka závisí na vzdialenosť žiarovky od štrbiny fotometra, avšak ich relatívny pomer na nej nezávisí. Pre nase potreby postačuje zaoberteť sa iba s relativným pomerom, pretože na určenie farebného tónu, súčasne súradnice

Tab. II. Hodnoty rotačnej disperzie kremennej doštičky ( $d = 3,39$  mm).

$\lambda (\mu)$	$a_{\lambda} d$	$\lambda (\mu)$	$a_{\lambda} d$
0,37	202° 51' 36"	0,58	76° 10' 12"
0,38	191° — —	0,59	73° 27' 36"
0,39	180° 10' 48"	0,60	70° 53' 24"
0,40	170° 15' 36"	0,61	68° 27' 36"
0,41	161° 11' 24"	0,62	66° 09' 36"
0,42	152° 48' —	0,63	63° 37' 48"
0,43	145° 05' 24"	0,64	61° 52' 12"
0,44	137° 55' 48"	0,65	59° 52' 48"
0,45	131° 20' 24"	0,66	57° 57' 36"
0,46	124° 49' 12"	0,67	56° 09' 36"
0,47	119° 28' 43"	0,68	54° 28' 48"
0,48	114° 09' 36"	0,69	52° 50' 24"
0,49	109° 12' —	0,70	51° 16' 12"
0,50	104° 33' —	0,71	49° 45' 35"
0,51	100° 12' —	0,72	48° 20' 24"
0,52	96° 06' 36"	0,73	46° 57' —
0,53	92° 16' 48"	0,74	45° 37' 48"
0,54	88° 39' 36"	0,75	44° 22' 12"
0,55	85° 15' 36"	0,76	43° 09' —
0,56	82° 04' 12"	0,77	42° — —
0,57	79° 01' 12"	0,78	40° 52' 48"

Tab. III. Krivky prepruštnosti.

$\lambda(\mu)$	I.	II.	III.	IV.	V.	$\lambda(\mu)$	VI.	VII.	VIII.	IX.	X.
0,40	0,971	0,886	0,754	0,591	0,417	0,40	0,2539	0,120	0,031	—	0,028
0,41	0,896	0,762	0,607	0,433	0,268	0,41	0,130	0,037	—	0,023	0,103
0,42	0,791	0,634	0,462	0,293	0,150	0,42	0,049	0,002	0,015	0,087	0,206
0,43	0,672	0,502	0,330	0,179	0,067	0,43	0,007	—	0,066	0,177	0,327
0,44	0,551	0,378	0,219	0,094	0,019	0,44	0,001	0,043	0,141	0,281	0,448
0,45	0,436	0,271	0,132	0,038	0,000	0,45	0,018	0,102	0,230	—	0,563
0,46	0,326	0,246	0,065	0,007	0,008	0,46	0,068	0,181	0,332	0,503	—
0,47	0,242	0,112	0,027	—	0,038	0,47	0,122	0,288	—	—	0,757
0,48	0,167	0,060	0,005	0,010	—	0,48	0,189	—	0,514	0,684	—
0,49	0,108	0,026	—	0,035	0,126	0,49	—	0,226	—	0,762	0,892
0,50	0,063	0,006	0,009	0,070	—	0,50	0,336	—	0,678	0,827	—
0,51	0,031	—	0,028	0,114	0,247	0,51	—	0,583	—	0,880	0,967
0,52	0,013	0,005	0,057	0,163	—	0,52	0,480	—	0,806	0,923	0,998
0,53	0,001	0,018	0,092	0,216	0,374	0,53	—	0,714	—	0,954	—
0,54	0,0005	0,039	0,132	0,270	—	0,54	0,609	—	0,897	0,977	0,999
0,55	0,006	0,065	0,175	0,324	0,495	0,55	—	0,818	—	0,991	0,993
0,56	0,019	0,095	0,219	0,377	—	0,56	0,718	—	0,956	0,998	0,980
0,57	0,036	0,128	0,265	0,429	0,603	0,57	—	0,894	0,975	0,999	0,963
0,58	0,055	0,163	0,310	0,479	—	0,58	0,805	—	0,988	0,997	0,943
0,59	0,081	0,200	0,354	0,526	0,696	0,59	—	0,945	0,996	—	0,918
0,60	0,107	0,237	0,398	0,571	—	0,60	0,872	0,964	1,000	0,974	0,892
0,61	0,135	0,274	0,439	0,613	0,772	0,61	0,899	0,978	0,999	—	—
0,62	0,163	0,310	0,479	0,651	—	0,62	0,922	0,988	0,995	0,942	0,836
0,63	0,177	0,352	0,523	0,693	0,839	0,63	0,944	0,996	0,987	—	—
0,64	0,223	0,381	0,554	0,721	—	0,64	0,957	0,998	0,979	0,901	0,777
0,65	0,252	0,415	0,588	0,751	0,884	0,65	0,970	1,000	0,969	—	—
0,66	0,281	0,448	0,621	0,780	0,904	0,66	0,980	0,998	—	0,859	0,718
0,67	0,310	0,480	0,651	0,805	0,922	0,67	0,988	0,995	0,942	—	—
0,68	0,337	0,509	0,679	0,828	0,937	0,68	0,993	0,990	—	0,818	0,662
0,69	0,365	0,538	0,705	0,849	0,950	0,69	0,997	0,984	0,913	—	—
					0,70	0,999	0,977	—	0,769	0,608	

Tab. IV. Základné valencie (súradnice) interferenčných farieb v slnečnom svetle a ich ortogonálne súradnice  $x, y$ .

Interf. farba	$r$	$g$	$b$	$x$	$y$
I.	0,0820	0,0455	0,4360	0,8140	0,0699
II.	0,1638	0,0935	0,3006	0,6236	0,1452
III.	0,2848	0,1880	0,1894	0,4280	0,2458
IV.	0,4330	0,3186	0,1160	0,3180	0,3173
V.	0,5848	0,4707	0,0866	0,2819	0,3569
VI.	0,5702	0,6269	0,1076	0,2836	0,3656
VII.	0,8511	0,7624	0,1774	0,3119	0,3686
VIII.	0,9308	0,8777	0,2856	0,3466	0,3636
IX.	0,9526	0,9523	0,4148	0,3841	0,3554
X.	0,9296	0,9499	0,5656	0,4256	0,3264
XI.	0,8442	0,9040	0,6965	0,4700	0,3202
XII.	0,7194	0,8036	0,8234	0,5221	0,2966
XIII.	0,5709	0,6811	0,8993	0,5723	0,2741
XIV.	0,4147	0,5350	0,9094	0,6330	0,2492
XV.	0,2699	0,3705	0,9017	0,7050	0,2081
XVI.	0,1523	0,2209	0,8869	0,7829	0,1638
XVII.	0,0763	0,1219	0,7199	0,8505	0,1149
XVIII.	0,0507	0,0575	0,5770	0,8899	0,0727

T a b. V. Závislosť vlnovej dĺžky interferenčných farieb od otočenia  $w$   
v dennom svetle.

Farba	$w$	Vln. dĺžka $\lambda$ (Å)	Farba	$w$	Vln. dĺžka $\lambda$ (Å)
IV.	30°	5900,0	XII.	110°	4922
V.	40°	5837,0	XIII.	120°	4856
VI.	50°	5811,0	XIV.	130°	4817
VII.	60°	5786,0	XV.	140°	4780
VIII.	70°	5766,0	XVI.	150°	4737
IX.	80°	5736,0	XVII.	160°	4675
X.	90°	5673,0	XVIII.	170°	4540
XI.	100°	5400,3			

T a b. VI. Závislosť sýtosťi interferenčných farieb od otočenia  $w$   
v dennom svetle.

Farba	$w$	Sýtosť	Farba	$w$	Sýtosť
I.	0°	0,7580	X.	90°	0,3042
II.	10°	0,1484	XI.	100°	0,1425
III.	20°	0,4970	XII.	110°	0,0808
IV.	30°	0,4973	XIII.	120°	0,2026
V.	40°	0,7398	XIV.	130°	0,3297
VI.	50°	0,7830	XV.	140°	0,4737
VII.	60°	0,7028	XVI.	150°	0,6250
VIII.	70°	0,5912	XVII.	160°	0,7505
IX.	80°	0,4625	XVIII.	170°	0,7775

T a b. VII. Závislosť relatívnej jasnosti interferenčných farieb  
od otočenia  $w$  v dennom svetle.

Farba	$w$	Rel. jasnosť	Farba	$w$	Rel. jasnosť
I.	0°	0,0784	X.	90°	0,9251
II.	10°	0,1415	XI.	100°	0,8557
III.	20°	0,2461	XII.	110°	0,5731
IV.	30°	0,3814	XIII.	120°	0,6207
V.	40°	0,5287	XIV.	130°	0,4731
VI.	50°	0,6859	XV.	140°	0,3255
VII.	60°	0,7987	XVI.	150°	0,1970
VIII.	70°	0,8936	XVII.	160°	0,1114
IX.	80°	0,9367	XVIII.	170°	0,0681

jasnosti nepotrebuje poznat absolútne hodnoty intenzít svetiel. Príslušné merania boli urobené König-Martensovým spektrálnym fotometrom.

Nech je  $J_\lambda$  intenzita polarizovaného svetla žiarovky pri vlnovej dĺžke  $\lambda$  a sinka  $J_{\lambda}$ . Keď polarizačná rovina svetla  $J_\lambda$  splýva s rovinou polarizátora, svetlo  $J_\lambda$  s rovinou analyzátora, potom aby obidve polia v zornom poli okulára boli rovnako jasné, je potrebné obecne potočiť analyzátorom o určitý uhol  $\alpha$  a plati

$$\frac{J_\lambda}{J_{\lambda}} = P_\lambda = \operatorname{tg}^2 \alpha.$$

Tieto experimentálne zistené hodnoty udáva pripojená tabuľka VIII, a jej grafické znázornenie predstavuje obr. 10.

Súradnice svetla kvalitatívne totožného so svetlom žiarovky dostaneme zo vzorca

$$r_i = \int P(\lambda) R(\lambda) d\lambda, \quad g_i = \int P(\lambda) G(\lambda) d\lambda,$$

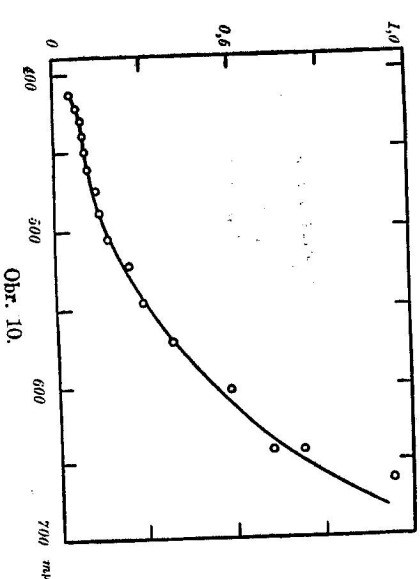
$$b_i = \int P(\lambda) B(\lambda) d\lambda.$$

Podobne prepočítame teoretické súradnice interferenčných farieb v slnečnom svetle na súradnice vo svetle žiarovky podľa platných vzorcov

$$r_i = \int a(\lambda) P(\lambda) R(\lambda) d\lambda, \quad g_i = \int a(\lambda) P(\lambda) G(\lambda) d\lambda,$$

$$b_i = \int a(\lambda) P(\lambda) B(\lambda) d\lambda.$$

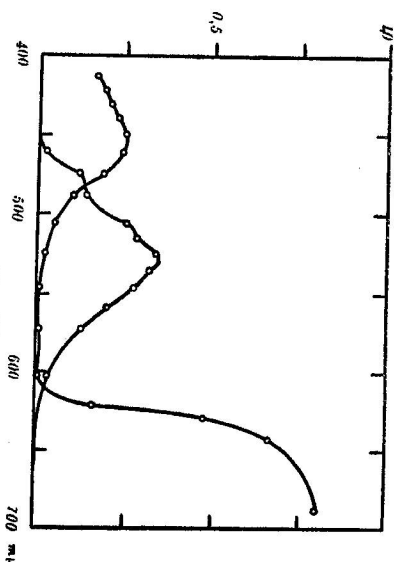
Výpočet interferenčných farieb vo svetle žiarovky bol prevedený pre farby I, II, III, V, VII, XI, XV, XVII, XVIII. V diagrame sú ozna-



čené arabskými číslicami. Ich súradnice sú obsadené v tab. IX a graficky sú vyniesené v diagrame 6.

#### Určenie súradnic $u_1, u_2, \dots, u_5$ .

Nakoľko svetlá nášho pracovného systému boli získané filtrovaním svetla žiarovky pre exaktne stanovenie ich farieb, treba určiť krvky priepustnosti použitých filterov. Boli opäť namerané König-Martensovým



Obr. 11.

spektrálnym fotometrom. Ich grafické znázornenie podáva obr. 11. Príslušné namerané hodnoty podáva tab. X.

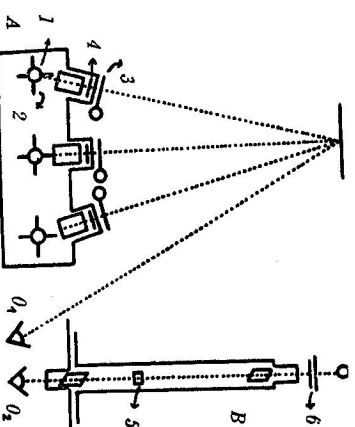
Oznámcme krvky priepustnosti filterov postupne  $u(\lambda)$ ,  $v(\lambda)$ ,  $w(\lambda)$ , potom sú súradnice týchto krviek použitím žiarovky

$$u_1 = \int u(\lambda) R(\lambda) P(\lambda) d\lambda, \dots, w_5 = \int w(\lambda) P(\lambda) B(\lambda) d\lambda.$$

Ich hodnoty sú v tab. XI.

#### Určenie súradíc interferenčných farieb v systéme $R'$ , $G'$ , $B'$ .

Ked jasnosť svetiel, získaných pomocou určených filterov vezneme za jednotkové, potom súradnice ktorékoľvek farby v systéme  $R'$ ,  $G'$ ,  $B'$  budeme poznáť, ked určíme jasnosť základných svetiel tak, že ich Adriou získame určovanú farbu. Za tým účelom musíme mať možnosť spojiť meniu jasnosť svetiel základných svetelných zdrojov. Toto možno dosiahnuť napr. pomocou šedých klinov s mikrometrickými posuvmi. Za svetelné zdroje boli zvolené žiarovky s tenkou vodorovnou špirálou a poloha šedých klinov bola zvolená tak, aby ostý obraz špirálky vytvorený objektívom sa premieťal na klin. V tomto prípade bol zo šedeho



Obr. 12.

filterov sú na obrázku schématicky znázornené krúžkami. Bielu farbu súčtu barnatého, z ktorého bolo vytvorené tienidlo, sme vzali za normálnu.

Interferenčné farby boli získané pomocou polarimetra [porov. obr. 12, (B)] s vloženou kremennou doštikou medzi nikoly (5). Za účelom rovnomeného osvetlenia zorného pola analyzátoru a za účelom možnosti zmeny jeho jasnosti, bola pred polarizátor polarimetru umiestená clonka a matnica (6).

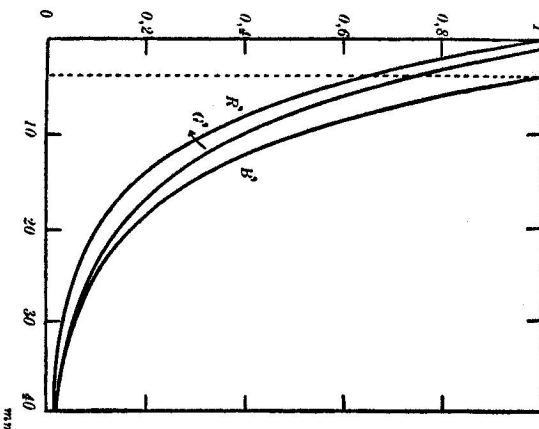
Svetelný papršek, vychádzajúci zo žiarovky rovnakého typu ako v zariadení predošom, bol pozorovaný po prechode polarimetrom okom  $O_2$ , zatiaľ čo súčasne druhým okom  $O_1$  bol pozorované zorné pole tienidla. Pomery jasnosí svetiel základných zdrojov boli tak dlho menené kým nebola pozorovaná rovnosť obidvoch polí.

Grafické znázornenie závislosti intenzít prepusteného svetla klinami na ich posunutí predstavuje obr. 13. Pretože sa krvky len veľmi málo rozlišujú, sú na obrázku navzájom o niečo posunuté.

Najdené súradnice interferenčných farieb boli úmerne pozmnené tak, aby bola jedna súradnica rovná 1. Táto úprava zjednoduší numerický výpočet potrebných neskorších transformácií. Získané výsledky obsahuje tab. XIII.

klinu tieniny úzky pás asi 0,3 mm, v ktorom rozsahu bolo možno považovať šedý klin približne za konštantný. Tým sa dosiahol, že zorné pole zariadenia (porov. obr. 12) bolo rovnomerne jasné a rovako zafarbené. Osvetlovanie žiarovky (1) bolo umiestené v uzavretom priestore (4) s možnosťou posúvania (2), aby bolo možno zaosítiť obraz vlákna na klin (3). Pred klinami boli umiestené filtre (4). Mikrometrické posuvy

I. Závislosť dominantnej vlnovej dĺžky a sýfosti farby na otocení



Obr. 13

## Dôkaz výsledkov interferences farieb.

Závislosť dominantnej vlnovej dĺžky a sýfosti farby na otocení bola zistená podobne ako v II. kapitole. Abi sme si urobili určitý náhľad na jasnosť nameraných farieb, treba si uvedomiť, že sme vôbec nepracovali s absolútnymi intenzitami svetiel. Jasnosť žiarovky sme volili úplne náhodne určitou voľbou jej vzdialenosť od štrbiny pri fotometrovaní. To ovšem znamená, že teoretické súradnice farieb boli experimentálnym len úmerne. Behom výpočtu sme však urobili ešte jednu obmenu a to pri určovaní súradnic experimentálnych  $r'$ ,  $g'$ ,  $b'$ , ktoré sú úmerne zväčšili alebo zmensili tak, aby jedna súradnica bola rovná 1. Tým sa stalo, že spomenutá konštantá úmernosti nemá pre všetky farby rovnakú hodnotu a musíme ju nájsť pre každú farbu zvlášť. Nájdeme ju tak, že stotožníme postupne súradnicu  $i$ -tej farby  $r'_i$ , transformovanú do systému  $R, G, B$  so súradnicou  $r_i$ ; potom súradnicu  $g'_i$  transformovanú, so súradnicou  $g_i$  a konečne  $b'_i$  transformovanú so súradnicou,  $b_i$ . Dostaneme

$$r_i = k_{ri}(r'_i), \quad g_i = k_{gi}(g'_i), \quad b_i = k_{bi}(b'_i),$$

pričom sme zátvorkami označili transformované, namerané súradnice farieb. Aritmetický priemer z konštant  $k_{ri}$ ,  $k_{gi}$ ,  $k_{bi}$ , ktorý označme  $k_i$ , vezmeme za hľadanú konštantu pre  $i$ -tú farbu. Týmto spôsobom nájdené konštanty nám dovolujú srovnáť jasnosť teoretických farieb a nameraných

Tab. VIII.

Závislosť pomery  $P_\lambda$  na vlnovej dĺžke.

$\lambda (\mu)$	$P_\lambda$	$\lambda (\mu)$	$P_\lambda$
0,41	0,085	0,55	0,269
0,42	0,060	0,56	0,300
0,43	0,0734	0,57	0,334
0,44	0,078	0,58	0,367
0,45	0,083	0,59	0,402
0,46	0,090	0,60	0,440
0,47	0,100	0,61	0,481
0,48	0,111	0,62	0,525
0,49	0,125	0,63	0,574
0,50	0,145	0,64	0,626
0,51	0,164	0,65	0,686
0,52	0,185	0,66	0,755
0,53	0,210	0,67	0,836
0,54	0,237	0,68	0,945

Tab. IX. Súradnice interferences farieb vo svetle žiarovky.

Objekt	$r$	$g$	$b$
žiarovka			
I. (1)	0,3601	0,2785	0,0913
II. (2)	0,0869	0,0155	0,0320
III. (3)	0,0759	0,0356	0,0208
V. (5)	0,1242	0,0674	0,0125
VIII. (8)	0,2680	0,1520	0,0090
XL (11)	0,3434	0,2565	0,0340
XV. (15)	0,2834	0,2420	0,0702
XVII. (17)	0,0702	0,0824	0,0774
XVIII. (18)	0,0155	0,0220	0,0573
	0,0163	0,0111	0,0447

Tab. X. Krivky priepustnosti filterov.

Červený filter			
$\lambda$ ( $\mu$ )	$D_h$	$\lambda$ ( $\mu$ )	$D_\lambda$
0,60	—	0,66	0,7500
0,61	0,026	0,67	0,7750
0,62	0,145	0,68	0,7910
0,63	0,465	0,69	0,8050
0,64	0,640	0,70	0,8075
0,65	0,711		
Zelený filter			
0,45	0,0022	0,55	0,2575
0,46	0,0182	0,56	0,1875
0,47	0,0800	0,57	0,1375
0,48	0,1260	0,58	0,0960
0,49	0,1450	0,59	0,0615
0,50	0,2175	0,60	0,0375
0,51	0,2710	0,61	0,0210
0,52	0,3200	0,62	0,0110
0,53	0,3275	0,63	0,0060
0,54	0,2950	0,64	0,0020
Modrý filter			
0,41	0,1470	0,54	0,0050
0,42	0,1820	0,56	0,0047
0,43	0,2040	0,57	0,0045
0,44	0,2250	0,58	0,0042
0,45	0,2447	0,59	0,0029
0,46	0,2390	0,60	0,0002
0,47	0,1950	0,61	—
0,48	0,1425	0,65	0,0010
0,49	0,0870	0,67	0,0032
0,50	0,0625	0,68	0,0043
0,51	0,0410	0,69	0,0048
0,52	0,0200	0,70	—
0,53	0,0075		

Tab. XI. Hodnoty súradníc použitých filterov pre žiarovku.

Filter	$\frac{u_1}{v_1}$	$\frac{u_2}{v_2}$	$\frac{u_3}{v_3}$
červený zelený modrý	0,0496 0,0374 0,0016	0,0107 0,0467 0,0029	— 0,0063 0,0156

Tab. XII. Krivky priepustnosti šedých klinov.

Posunutie v mm	červenom	zelenom	modrom
1	0,8921	0,9048	0,8934
2	0,7957	0,8186	0,7981
3	0,7099	0,7407	0,7131
4	0,6333	0,6701	0,6570
5	0,5550	0,6063	0,5691
6	0,5040	0,5485	0,5084
7	0,4496	0,4963	0,4542
8	0,4011	0,4491	0,4053
10	0,3192	0,3676	0,3239
11	0,2891	0,3626	0,2894
12	0,2540	0,3010	0,2585
15	0,1781	0,2229	0,1843
20	0,1019	0,1351	0,1049
25	0,0576	0,0820	0,0597
30	0,03251	0,0497	0,0389
35	0,0183	0,0301	0,0193
40	0,0104	0,0183	0,0110
45	0,0058	0,0111	0,0053
50	0,0033	0,0067	0,0035
55	0,0018	0,0041	0,0020
60	0,0010	0,0025	0,0012

Tab. XIII. Súradnice interferenčných farieb v systéme  $R'$ ,  $G'$ ,  $B'$ .

Farba	$a$	$r'$	$g'$	$b'$
1	—	0,3220	0,1110	1,0000
2	—	0,8905	0,3770	1,0000
3	—	1,4230	0,7890	1,0000
8	—	1,9000	1,3600	0,1760
11	—	0,7900	1,7120	0,7500
15	—	0,0580	0,3460	1,0000
17	—	0,0178	0,0626	1,0000
18	—	0,0456	0,0105	1,0000

T a b. XIV. Relatívne jasnosti interferenčných farieb vo svetle žiarovky.

Otočenie (farba)	teoretická	experimentálna
0° (1)	0,029	0,027
10° (2)	0,058	0,056
20° (3)	0,100	0,082
40° (5)	0,167	—
70° (8)	0,302	0,291
100° (11)	0,263	0,274
140° (15)	0,069	0,0766
160° (17)	0,019	0,020
170° (18)	0,0158	0,014

T a b. XV. Sýostí interferenčných farieb vo svetle žiarovky.

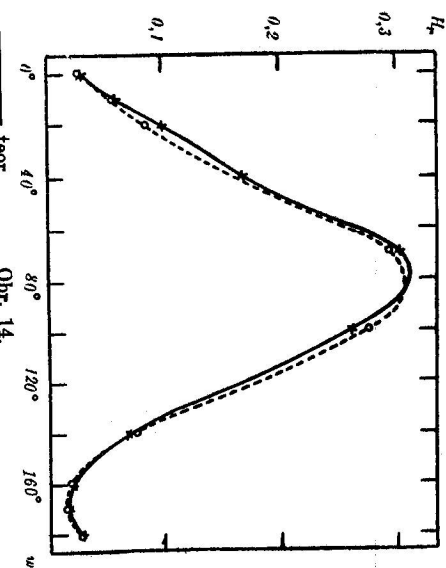
Otočenie (farba)	teoretická	experimentálna
0° (1)	0,448	0,375
10° (2)	0,520	0,510
20° (3)	0,814	0,650
40° (5)	0,936	—
70° (8)	0,838	0,820
100° (11)	0,646	0,689
140° (15)	0,084	0,050
160° (17)	0,508	0,423
170° (18)	0,537	0,508

T a b. XVI. Dominantné vlnové dĺžky interferenčných farieb vo svetle žiarovky.

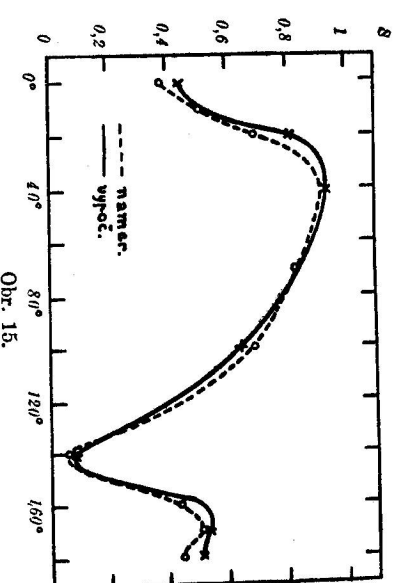
Otočenie (farba)	teoretická ( $\lambda$ Å)	experimentálna ( $\lambda$ Å)
0° (1)	5040 (dopln.)	5048 (dopln.)
10° (2)	6270	6182
20° (3)	6018	6078
40° (5)	5953	—
70° (8)	5863	5867
100° (11)	5802	5800
140° (15)	4950	4988
160° (17)	4770	4672
170° (18)	5600 (dopln.)	5700 (dopln.)

farieb a to vypočítanú na základe Esterrovo a Kohlrauschovo vzťahu pre jasnosti relatívne.

Tabuľky č. XIV, XV, XVI uvádzajú výsledky získané pre výšetrované farby jednak teoreticky ako i experimentálne, a to pre ich relatívnu jasnosť, sýost a farebný ton. Grafické znázornenie týchto závislostí predstavujú obr. 14, 15, 7.



Obr. 14.



Obr. 15.

Došlo 12. júna 1951.

Ústav technickej fyziky  
Slovenskej vysokej školy technickej  
v Bratislave.

## ВЫВОДЫ

В первой главе статьи дан краткий очерк трихроматической теории цвета. Вторая и третья главы посвящены теоретическому и опытному исследованию цветов интерференции, возникающих в пластинке кварца сополимерной перпендикулярно к оптической оси и помещённой в параллельных лучах между скрепленными николями.

Линейно поляризованный белый свет, проходя через квадратную пластинку обнаруживает вращательную дисперсию, которую хорошо выражает формула Лагури-Куд-Адамса:

$$\alpha_\lambda = \frac{A}{\lambda - \lambda_0^2} + \frac{B}{\lambda - \lambda_0'^2} + C_\lambda$$

где  $\alpha_\lambda$  — угловое вращение для длины волны  $\lambda$ , измеряемой в  $\mu$ ,

$$A = 9,5639, B = -2,3113, C = -0,1905, \lambda_0^2 = 0,0127493, \lambda_0'^2 = 0,000974.$$

После прохождения света через анализатор амплитуда светового вектора будет иметь значение

$$(D_\lambda)_a = (D_\lambda)_p \cdot \cos(\omega \mp \alpha_\lambda d),$$

где  $(D_\lambda)_p$  — амплитуда светового вектора в поляризаторе при длине волны  $\lambda$  и выражение  $\omega = \omega \mp \alpha_\lambda d$  — угол, который составляют между собой плоскость поляризации и плоскость анализатора после прохождения через пластинку кварца при угле скрещения николей  $W$ . Так как  $(D_\lambda)_a$  является функцией  $W$ , поле зрения анализатора обнаруживает разную окраску для разного скрещения николей  $W$ .

Координаты  $\mathbf{r}, \mathbf{g}, \mathbf{b}$  интерференционных цветов, возникших в солнечном

свете в отношении к основным цветам  $R, G, B$  определенные с помощью исследования цветной спектра, были вычислены согласно формулам

$$\mathbf{r} = \int \mathbf{a}(\lambda) R(\lambda) d\lambda, \quad \mathbf{g} = \int \mathbf{a}(\lambda) G(\lambda) d\lambda, \quad \mathbf{b} = \int \mathbf{a}(\lambda) B(\lambda) d\lambda,$$

где  $\alpha(\lambda)$  — кривые пропускаемости света анализатором после прохождения через пластинку кварца (таб. III, рис. 5) и  $R(\lambda), G(\lambda), B(\lambda)$  — кривые Кёнига (рис. 2, таб. I).

Суммарные результаты приведены в таб. VI и в рис. 6. Из этих величин определены зависимости длины волны интерференционных цветов, их яркости и яркости от угла поворота анализатора. В таб. V, VI, VII даны соответствующие результаты.

С целью оптикой проверки результатов интерференционные цвета были снова вычислены в свете лампы накаливания, свет которой был сопоставлен с солнечным светом с помощью спектрофотометра Кёниг-Мартенса. Координаты этих интерференционных цветов в системе  $R, G, B$  выражают следующие формулы

$$\mathbf{r} = \int \mathbf{a}(\lambda) P(\lambda) R(\lambda) d\lambda, \quad \mathbf{g} = \int \mathbf{a}(\lambda) P(\lambda) G(\lambda) d\lambda, \quad \mathbf{b} = \int \mathbf{a}(\lambda) P(\lambda) B(\lambda) d\lambda,$$

где  $\mathbf{a}(\lambda), R(\lambda) G(\lambda), B(\lambda)$  имеют то же самое значение как и в предыдущем случае и  $P(\lambda) = \frac{J_{\lambda}}{J_{\text{сн}}}$  — отношение яркости света лампы  $J_\lambda$  к яркости солнца

нейшего света для той же самой длины волны  $\lambda$ . Результаты вычисления этих цветов интерференции даны в таб. IX, и их зависимости касательно яркости, яркости, длины волны поставлены в прямом сопоставлении с опытными данными в таб. XIV, XV, XVI. Рис. 6 содержит графическое изображение этих цветов; здесь теоретически определенные цвета обозначены 1, 2, 3, ..., и те же самые цвета, определенные опытным путем отмечены 1', 2', 3' ...

Опытное измерение производилось с помостью прибора, состоящего из трех цветных источников света, освещенных лампами накаливания и фильтрами, которые были раннее точно измерены. Яркость источников света была контролирована серыми клинами. Цвета, наблюдавшиеся в поле зрения анализатора были воспроизведены с помостью выбранных цветных источников и опытным путем определенные координаты были перенесены в систему гипотетических цветов  $R, G, B$ . Результаты показывают согласие между теорией и опытом.